



UNIVERSITÄT ZU LÜBECK
INSTITUT FÜR
THEORETISCHE INFORMATIK

Algorithmen für bewegende Ziele im Travelling Salesman Problem

Algorithms for Moving-Target Travelling Salesman Problem

Bachelorarbeit

verfasst am

Institut für Theoretische Informatik

im Rahmen des Studiengangs

Informatik

der Universität zu Lübeck

vorgelegt von

Felix Greuling

ausgegeben und betreut von

Prof. Dr. Maciej Liskiewicz

Lübeck, den 30. Dezember 2019

Eidesstattliche Erklärung

Ich erkläre hiermit an Eides statt, dass ich diese Arbeit selbständig verfasst und keine anderen als die angegebenen Quellen und Hilfsmittel benutzt habe.

Felix Greuling

Zusammenfassung

TODO

Abstract

TODO

Danksagungen

Inhaltsverzeichnis

1	Einleitung	1
1.1	Beiträge dieser Arbeit	1
1.2	Verwandte Arbeiten	1
1.3	Aufbau dieser Arbeit	1
2	Grundlagen	2
2.1	Fallübergreifende Definitionen	2
2.2	Eindimensionaler Fall	3
2.3	Algorithmus von Helvig, Robins and Zelikovsky	6
2.4	Zwei-orthogonale-Achsen-Fall	6
2.5	Input & Output	7
3	Theoretische Grundlagen für den zwei-orthogonale-Achsen-Fall	8
4	Heuristiken für den zwei-orthogonale-Achsen-Fall	9
5	Experimente	10
6	Zusammenfassung und Ausblick	11
	Literatur	12

1

Einleitung

- 1.1 Beiträge dieser Arbeit
- 1.2 Verwandte Arbeiten
- 1.3 Aufbau dieser Arbeit

2

Grundlagen

Im folgenden Kapitel werden alle nötigen Grundlagen für bewegende Ziele im Travelling-Salesman-Problem erläutert. Dabei werden zwei konkrete Fälle vorgestellt:

1. eindimensionaler Fall: Jedes Ziel kann sich nur auf einer Linie bewegen
2. zwei-orthogonale-Achsen-Fall: Erweitert den eindimensionalen Fall um eine orthogonal, auf der ersten Linie, liegenden Achse, auf der sich die Ziele bewegen können.

Die Approximation für generelle Fälle gilt dabei schwierig, da viele verschiedene Faktoren die Komplexität des Problems bestimmen. Die Approximations-Forschung in [2] zeigte, dass sich die Probleme nicht besser als mit einem Faktor von $2^{\pi(\sqrt{\pi})}$, es sei denn $P = NP$. Dies gilt bisher allerdings weiterhin als ungelöstes Problem in der Informatik.

2.1 Fallübergreifende Definitionen

Definition 2.1. Jede Instanz enthält eine Anzahl n von Zielen $Z = \{z_0, \dots, z_{n-1}\}$. Jedes Ziel z_i befindet sich zunächst an einem Startpunkt p_i und bewegt sich dann mit einer konstanten Geschwindigkeit v_i entlang einer Achse, $p_i, v_i \in \mathbb{Z}$. Die Positionen und Geschwindigkeiten können dabei als Vektoren P und V dargestellt werden.

$z_{\{n-1\}}$

$$P = (p_0, \dots, p_{n-1})^T$$

$$V = (v_0, \dots, v_{n-1})^T$$

Demnach kann ein Ziel als ein Tupel $z_i = (p_i, v_i)$ dargestellt werden. Der Ursprung ist definiert durch einen Punkt ohne Geschwindigkeit. Das Tupel $(-1, 0)$ würde also bedeuten, dass der Verfolger an der Koordinate -1 startet. Ein Ziel mit einer negativen Koordinate befindet sich auf der linken, positive Koordinaten auf der rechten Seite des Ursprungs.

Definition 2.2. Der Verfolger kann sich ebenfalls nur auf den Achsen bewegen. Sein Ziel ist die schnellst mögliche Tour zu finden, um alle Punkte zu besuchen. Dabei bewegt sich der Verfolger mit der Maximalgeschwindigkeit

$$v_{\text{verfolger}} > |v_i|, \forall v_i \in V.$$

Dies stellt sicher, dass der Verfolger nach einer gewissen Zeit jedes Ziel auf jeden Fall eingeholt hat. Andernfalls würde eine unendlich große Tourzeit berechnet werden. Der Ursprung ist gleichzeitig auch der Ziel der Tour. Demnach startet und endet jede Tour an diesem stationären Punkt.

Definition 2.3. Mit dem Zeitstempel $t \in \mathbb{R}_0^+$ kann genau bestimmt werden, an welcher Position sich ein Ziel hinbewegt hat. Die Position eines Ziels ist also abhängig vom aktuellen Zeitstempel t . Jede Tour beginnt bei $t = 0$.

Es gilt

$$p_{i,t} = p_{i,0} + v_i \cdot t.$$

Definition 2.4. Die Zeit, die benötigt wird, um ein Ziel B von der Position von Ziel A einzuholen, ist als

$$\tau = \left| \frac{\|pos_A, pos_B\|_1}{v_{\text{verfolger}} - v_B} \right|$$

definiert. Die Berechnung beruht auf der nach der Zeit (in diesem Fall τ) gleichgesetzten und umgestellten physikalischen Formel¹. Bemerke, v_A wird durch $v_{\text{verfolger}}$ ersetzt, da sich der Verfolger immer mit maximaler Geschwindigkeit bewegt.

Definition 2.5. Eine optimale Tour ist die kürzeste Reihenfolge an Zielen, bei dem jedes $z_i \in Z$ eingeholt wurde. Dabei startet und beendet der Verfolger jede Tour im Ursprung.

2.2 Eindimensionaler Fall

Der eindimensionale Fall wurde zuerst in [3] präsentiert. Die Autoren modellieren das Problem als Graph-Problem, wobei der eigentliche Graph on-the-fly erstellt wird. Mit **linearer Programmierung** wird anschließend die optimale Tourzeit bestimmt. Im eindimensionalen Fall befinden sich alle Ziele auf einer Achse und können sich nur in zwei verschiedene Richtungen bewegen. Dasselbe gilt auch für den Verfolger. Wichtig ist zunächst die Bedingung, dass der Verfolger sich immer mit seiner maximalen Geschwindigkeit $v_{\text{verfolger}}$ bewegt. Helvig et. al. bewiesen dies mit dem Aspekt, dass ein eine Reisegeschwindigkeit von $v < v_{\text{verfolger}}$ äquivalent zu einer Wartezeit an einem Punkt ist. Dies resultiert in eine längere Tourzeit, das heißt die Tour wäre nicht mehr optimal.

Um das Problem der kürzesten Route zu lösen, muss sich der Verfolger an einem Ziel entscheiden, das nächste Ziel in derselben oder entgegengesetzte Richtung einzuholen. Die Kostenberechnung für eine schnellste Tour aus

- alle Ziele links vom Ursprung aus gesehen und danach alle rechten Ziele einholen
- alle Ziele rechts vom Ursprung aus gesehen und danach alle linken Ziele einholen

ist zwar simpel und einfach **berechenbar**, reicht aber nicht aus (siehe Abbildung 2.1). Im worst case geht $t \rightarrow \infty$, sobald die äußersten Ziele noch deutlich weiter entfernt vom Ursprung aus liegen.

¹ Gleichförmige Bewegung: $s = v \cdot t + s_0$

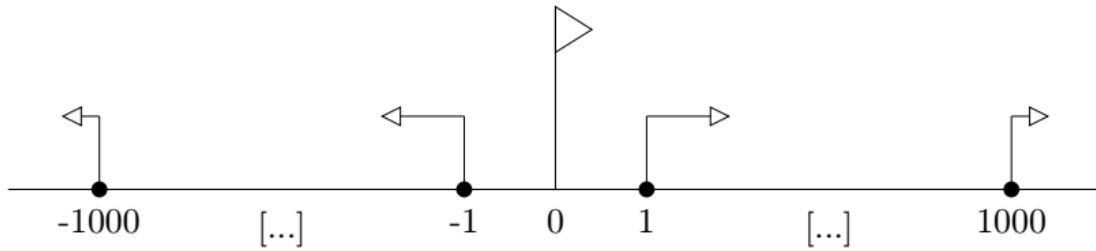


Abbildung 2.1: Offensichtlich würde der Verfolger mit der Geschwindigkeit $v_{\text{verfolger}} = 11$ deutlich länger für eine Tour brauchen, sofern er zunächst alle Ziele auf der einen und dann auf der anderen Seite abarbeitet. Hierbei wäre es sinnvoll, zunächst die Ziele $(-1, -10)$ und $(1, 10)$ einzuholen.

Die Autoren aus [3] definierten anschließend Wendepunkte und bewiesen ihre Korrektheit. Nur an diesen ist es dem Verfolger möglich, die Richtung zu ändern. Wendepunkte sind dabei die schnellsten Ziele auf der rechten bzw. linken Seite des Verfolgers. Sofern der Verfolger vor einem Wendepunkt umkehrt, verlängert sich die Tour und ist damit nicht mehr optimal.

Definition 2.6. Ein Zustand A ist definiert durch die aktuelle Position des Ziels (s_k), an dem sich der Verfolger zur Zeit befindet und dem schnellsten Ziel auf der gegenüberliegenden Seite des Ursprungs (s_f). Es ist also wieder eine Tupeldarstellung

$$A = (s_k, s_f)$$

möglich, wobei s_k und s_f wiederum Tupel sind (siehe Definition 2.1).

Ein Zustand stellt eine Momentaufnahme der Tour dar. Dabei wird ein potentieller Wendepunkt repräsentiert. Um die optimale Tour zu bestimmen, muss an jedem dieser Punkte korrekt entschieden werden, ob sich der Verfolger weiter in die Richtung bewegt oder s_f auf der anderen Seite des Ursprungs verfolgt. Im Gegensatz zu den anderen Zuständen besitzen A_o und A_{final} keine Tupel. Dabei handelt es sich um den Start und Endzustand, welche bei jeder Tour gleich sind. Der Verfolger befindet bei beiden dieser Zuständen im Ursprung. Mit der Funktion t wird einem Zustand die aktuell minimale Zeit zugewiesen, mit der der Zustand über andere Zustände bis dahin am schnellsten erreichbar ist (siehe Definition 2.3). Offensichtlich gilt demnach $t[A_o] = 0$.

Wie bereits erwähnt, gibt es in den meisten Fällen Ziele, welche keine potentiellen Wendepunkte darstellen und somit nicht zur optimalen Tour beitragen. Um die Laufzeit und Speicherkomplexität zu reduzieren, können diese zunächst eliminiert werden. Es

handelt sich dabei um Ziele, die sowieso eingeholt werden. Zunächst wird jedes Ziel in die Liste *Left* oder *Right* eingefügt, abhängig davon, ob sich das Ziel bei $timestamp = 0$ auf der linken oder rechten Seite des Ursprungs befindet. Anschließend werden *Left* und *Right* in absteigender Reihenfolge nach den Geschwindigkeiten sortiert. Ziele, welche sich nun näher am Ursprung befinden und zugleich langsamer sind als ein anderes aus der jeweiligen Liste, werden eliminiert. Damit beinhalten *Left* und *Right* ausschließlich potentielle Wendepunkte.

Um nun alle Zustände zu bestimmen, wird jede Kombination aus den Listen *Left* und *Right* und umgekehrt für s_k und s_f eingesetzt und in die Zustandsliste *States* eingefügt. Anschließend wird *States* in absteigender Reihenfolge nach der Summe der Indizes der Ziele aus den Listen *Left* und *Right* sortiert (siehe Abbildung **TODO: Bsp mit den Zielen aus der Abbildung 2.1**). Somit befinden sich die Kombinationen bzw. Zustände aus den schnellsten Zielen am Listenanfang von *States*.

Definition 2.7. Ein Zustandsübergang von Zustand A in den Zustand B wird mit

$$\tau = A \rightarrow B$$

definiert. Der Übergang τ gibt dabei die Zeit τ (siehe Definition 2.4), um von dem aktuellen Zustand A in den nächsten Zustand B zu gelangen).

Ausgehend von einem Zustand, gibt es bis zu zwei Zustandsübergänge. Dabei handelt es sich von dem nächst-schnellsten auf der linken oder rechten Seite des Ursprungs. Die Übergänge werden dann als τ_{left} und τ_{right} bezeichnet. Sofern jedes Ziel auf einer Seite eingeholt wurde, wird der Übergang τ_{final} in A_{final} gewählt. Für die Berechnung von τ_{final} wird die Zeit vom aktuellen Zustand bis zum Einholen der restlichen Ziele auf der anderen Seite des Ursprungs und zusätzlich die Rückkehr zum Ursprung berechnet. Offensichtlich existiert eingehend in A_0 und ausgehend von A_{final} .

Wie bereits erwähnt, ist die Zustandsliste *States* nach der Summe der Indizes aus *Left* und *Right* in absteigender Reihenfolge sortiert. Mit zwei Möglichkeiten von τ_{left} und τ_{right} führt jeder Zustand in einen anderen Zustand mit einem höheren Index. Dabei erhält der Startzustand A_0 die Summe -1 , wodurch die Zustandsübergänge in die Zustände mit dem Summenwert von 0 führen. Die Zustände mit der höchsten Summe führen in A_{final} (Dies gilt sowieso mit der vorherigen Regelung). Mit diesen Bedingungen konnte nun aus *States* ein Graph G erzeugt werden. Anhand der Abbildung 2.3 (siehe Abbildung **TODO: Bsp mit der Abbildung 2.2**) ist diese Modellierung anhand des bisherigen Beispiels aus Abbildung 2.1 und 2.2 gut nachvollziehbar.

Definition 2.8. Ein Graph sei mit

$$G = (V, E)$$

über definiert. Hierbei werden die Knoten V durch die Zustände $A_i \in States$ und E durch die jeweiligen Zustandsübergänge τ repräsentiert.

Mit der Bedingung, dass Übergänge nur in Zustände mit höheren Summenwerten führen, ist G **ungerichtet** und azyklisch. Man gelangt also nach spätestens n Zuständen (exklusive A_0) in A_{final} .



Mit der Modellierung des Problems als Graphen und den Eigenschaften, dass dieser azyklisch und in topologischer Reihenfolge sortiert ist, kann das Problem mit einem einfachen *Kürzeste-Wege*-Algorithmus gelöst werden. Hierbei kann eine simple Heuristik, zum Beispiel [1], verwendet werden, um den kürzesten Weg von A_0 nach A_{final} zu bestimmen.

Mit der Bestimmung des kürzesten Pfades muss am Ende noch bestimmt werden, welche Ziele zwischen den Zuständen eingeholt wurden. Damit werden die anfangs eliminierten Zustände wieder der Tour hinzugefügt und bestenfalls (richtige Implementierung) ist somit die optimale Tour bestimmt.

2.3 Algorithmus von Helvig, Robins and Zelikovsky

Mit diesen Voraussetzungen haben die Autoren von [3] einen exakten $O(n^2)$ -Algorithmus für eindimensionale Fälle entwickelt, welcher auf dynamischer Programmierung basiert. Dieser bestimmt dabei die optimale Tour für die Eingabeinstanz.

Nach dem Schema aus dem vorherigen Abschnitts werden wieder die Listen *Left*, *Right* und *States* generiert. Anschließend wird durch jeden der n^2 Zustände iteriert. Für das einfachere Verstehen des Algorithmus wurde der Graph G zwar beschrieben, aber nicht generiert. Somit wird der Speicherplatz reduziert und damit die Effizienz des Algorithmus verbessert. Diese *On-the-fly*-Methode, um den Graph G zu generieren, ist durch die topologische Sortierung möglich. Damit ist für jeden Zustand sichergestellt, dass dieser mit minimaler Zeit erreicht wurde. Zudem ist nicht für jeden Zustand eine Berechnung der Übergänge in andere Zustände nötig. Einige werden ausgelassen oder führen direkt in A_{final} . Dies lässt sich auf das Vorgehen des Algorithmus zurückführen. Für einen Zustand A_i wird dabei eines der folgenden Schritte ausgeführt:

- Wenn in A_i keine eingehenden Übergänge besitzt, führe mit dem nächsten Zustand in der Liste fort. Dies tritt genau dann auf, wenn $t[i] = \infty$.
- Falls der Verfolger jedes Ziel auf einer Seite des Ursprungs eingeholt hat, erzeuge einen Übergang τ_{final} in A_{final} . Berechne die Zeit, um die verbleibenden Ziele auf der anderen Seite einzuholen und zusätzlich die Retour zum Ursprung.
- Berechne ansonsten τ_{Left} und τ_{Right} , welche den Verfolger entweder zum schnellsten Ziel auf der rechten oder linken Seite schickt. Falls die Zeit addiert mit dem aktuellen Zeitstempel $t[i]$ kleiner ist, als bisher von einem anderen Zustand, aktualisiere $t[A_{Left}]$ bzw. $t[A_{Right}]$ mit diesem Wert.

Schließlich werden alle (auch eliminierten) Ziele zwischen den Wendepunkten berechnet und in der richtigen Reihenfolge zusammengefügt. Somit wird eine optimale Tour durch die Kombination aus topologischer Reihenfolge und linearer Programmierung garantiert.

2.4 Zwei-orthogonale-Achsen-Fall



Zusätzlich zur Achse vom eindimensionalen Fall wird eine weitere Achse hinzugefügt, auf denen sich die Ziele und der Verfolger bewegen können. Die Achsen liegen dabei or-

thogonal zueinander. Den Zielen ist es dabei nicht erlaubt, an dem Schnittpunkt die Achse zu wechseln. Ein Ziel befindet sich also entweder auf der waagerechten oder senkrechten Achse.

Mit der neuen Achse könnte für die Positionsbestimmung eine zweidimensionale Koordinate verwendet werden. Allerdings wäre einer dieser Koordinaten immer gleich 0, da jegliche Bewegungen der Ziele und des Verfolgers auf die Achsen beschränkt sind. Somit ist nur eine einfache Ergänzung der Definition 2.1 um einen booleschen Wert a nötig. Die Position p_i wird dabei mit



$$p_i = \mathbb{R} \times a \mid a \in \{true, false\}$$

neu definiert. Dabei gibt a die Achse an, *true* steht für die waagerechte, *false* für die senkrechte Achse. Die Ziele werden nun neben den Listen *Left* und *Right* auch in die *Top* und *Bottom* einsortiert. Dabei deckt *Top* den positiven und *Bottom* den negativen Koordinatenbereich ab. Mit dieser Ergänzung gelten weiterhin alle anderen der vorherigen Definitionen.

2.5 Input & Output

Um Heuristiken aufzustellen und zu bewerten ist ein sinnvoller und einheitlicher Input und Output notwendig. Für den Input wird eine Menge T von Zielen sowie die initiale Position und Geschwindigkeit des Verfolgers erwartet. Dies reicht aus, um eine Tour zu bestimmen.

Beim Output kommt es darauf an, wie detailliert die Tour beschrieben werden soll. Als offensichtliche Parameter werden die Tourlänge und Tourzeit zurückgegeben. Damit ist allerdings die Tour schlecht nachvollziehbar. Demnach werden die Ziele in der vom Verfolger eingeholten Reihenfolge zurückgegeben. Dabei verfügt jedes Ziel über die Position und Zeit in der der Verfolger es eingeholt hat. Um die Tour komplett nachvollziehen, ist eine graphische Anwendung sinnvoll, aber nicht notwendig. Die Algorithmen dieser Arbeit werden dabei einfach nur die Ziele in der eingeholten Reihenfolge zurückgeben. Je nach Implementierung kann dann einem Ziel dabei die eingeholte Zeit zugeordnet werden, womit man dann anschließend alle restlichen Informationen berechnen kann.

Sobald allerdings eine ungültige Eingabe, z.B. wenn eine Zielgeschwindigkeit größer als die Verfolgergeschwindigkeit ist, wird eine „Nein“-Instanz zurückgegeben. Dies wird allerdings in den Algorithmen vorausgesetzt und nicht extra behandelt.

3

Theoretische Grundlagen für den zwei-orthogonale-Achsen-Fall



Hilfssatz 3.1. In jeder optimalen Tour beim **2OA-Fall** beim bewegend Ziele in TSP bewegt sich der Verfolger immer mit maximaler Geschwindigkeit.

Beweis. Fallunterscheidung:

1. Das nächste Ziel des Verfolgers liegt auf der selben Achse:
Mit dem Beweis für 1D-Fälle in [3] gilt dies für diesen Fall.
2. Das nächste Ziel des Verfolgers bewegt sich auf der anderen Achse:
Indirekter Beweis: Nehmen an, der Verfolger bewegt sich mit $v_{\text{verfolger}} < v_{\text{max}}$. Dies ist äquivalent dazu, dass der Verfolger an seiner aktuellen Position eine Zeit τ wartet und sich dann mit v_{max} weiterbewegt, um dann das nächste Ziel s einzuholen. Dabei befindet sich s auf der anderen Achse. Nach der Wartezeit erreicht der Verfolger an Zeitpunkt t_1 den Schnittpunkt und holt das Ziel s an der Position p zum Zeitpunkt t_2 ein.

Nehmen nun an, dass der Verfolger sich direkt zum Mittelpunkt bewegt. Bis zum Eintreffen des Zeitpunktes t_1 wartet der Verfolger nun wieder die Zeit τ . Das Ziel s wird nun zum selben Zeitpunkt t_2 bei p erreicht, wie im vorherigen Szenario.

Dies wird nun fortgeführt, indem der Verfolger nicht im Schnittpunkt wartet, sondern von diesem aus p direkt erreicht. Bis zum Zeitpunkt t_2 wird nun wieder für die Dauer von τ gewartet.

Wird dies nur für alle restlichen Ziele der Tour fortgeführt, resultiert dies letztendlich in Wartezeit am Ende der Tour, was offensichtlich nicht optimal ist. Dieser Fall ist demnach nur eine Erweiterung des 1D-Fall-Beweises um den Schnittpunkt zwischen Zielen, die auf unterschiedlichen Achsen liegen.

3. **Muss folgendes Szenario gezeigt werden? Zwei Ziele bewegen sich in Richtung Mitte, Warten? (würde ich widerlegen, ist nur die frage, ob ich mit 2. Fall diesen bereits abgedeckt habe)**

In jedem der Fälle wird eine Wartezeit erzeugt, welche an das Ende der Tour verschoben werden kann. Somit ist die Tour offensichtlich nicht mehr optimal. Der Verfolger bewegt sich also zu jeder Zeit mit $v_{\text{verfolger}} = v_{\text{max}}$.

□

4

Heuristiken für den zwei-orthogonale-Achsen-Fall

Definition 4.1. **TODO: Prioritätsdef.**

5

Esperimente

6

Zusammenfassung und Ausblick

TODO

Literatur

- [1] Brandstädt, A. Kürzeste Wege. In: *Graphen und Algorithmen*. Springer, 1994, S. 106–123.
- [2] Hammar, M. und Nilsson, B. J. Approximation results for kinetic variants of TSP. In: *International Colloquium on Automata, Languages, and Programming*. Springer. 1999, S. 392–401.
- [3] Helvig, C. S., Robins, G. und Zelikovsky, A. The moving-target traveling salesman problem. In: *Journal of Algorithms* 49(1):153–174, 2003.